

## ارتباط یافته‌های سونوگرافی و آزمون‌های کبدی با شاخص ضربانی شریان مغزی-میانی و بازیلار در مبتلایان کبد چرب غیرالکلی

### چکیده

دریافت: ۱۳۹۲/۰۵/۲۷ پذیرش: ۱۳۹۲/۱۰/۲۱ آنلاین: ۱۳۹۲/۱۰/۲۱

**زمینه و هدف:** بیماری کبد چرب غیرالکلی (Nonalcoholic Fatty Liver Disease, NAFLD) یکی از شایع‌ترین بیماری‌هایی است که با افزایش مقاومت عروقی بر همودینامیک مغز تاثیر می‌گذارد. هدف از این مطالعه بررسی تاثیر کبد چرب غیرالکلی و شدت درگیری آن بر مقاومت شریان‌های داخل جمجمه بود.

روش بررسی: این مطالعه به صورت یک مطالعه مقطعی-تحلیلی در ۵۵ بیمار کبدی مراجعه‌کننده به کلینیک خصوصی شهر تهران و بخش سونوپالس مرکز تحقیقات بیماری‌های مغز و اعصاب ایران در سال‌های ۱۳۹۱-۹۲ انجام شد و طی آن شاخص‌های همودینامیک (Pulsatility Index, PI) شریان‌های مغزی بیماران به روش سونوگرافی داپلر ترانس کرایال (TCD) اندازه‌گیری و با مقادیر نرمال مقایسه شد. هم‌چنین ارتباط این شاخص‌ها با سطح سرمی آنزیم‌های کبد و شدت درگیری کبد در سونوگرافی ارزیابی شد.

**یافته‌ها:** شاخص ضربانی (PI) در شریان قاعده‌ای با  $P=0.053$  و مغزی میانی با  $P=0.166$  تفاوت معناداری با مقادیر نرمال نداشت. هم‌چنین این شاخص ارتباطی با شدت درگیری سونوگرافیک کبد نداشت ( $P=0.789$ ) ولی در شریان بازیلار ارتباط معکوسی با سطح سرمی آنزیم‌های کبد وجود داشت ( $P=0.014$ ). از نظر شدت کبد چرب در سونوگرافی  $42\%$  خفیف،  $38\%$  متوسط و  $20\%$  شدید گزارش شده بود که هیچ کدام از بیماران دچار اختلال عملکرد کبدی نبودند.

**نتیجه‌گیری:** با توجه به افزایش مقاومت عروقی شریان‌های مغزی در بیماری‌های کبدی پیشرفت، عدم تغییرات عروقی را می‌توان ناشی از مدت کوتاه بیماری از زمان تشخیص تا انجام TCD، عدم پیشرفت بودن درگیری کبد و تاثیرات درمان انجام شده بر بیماران دانست، از این‌رو جهت بررسی تغییرات عروقی در طی زمان، داپلر عروق مغزی و مارکرهایی مانند K18 و فیبرواسکن مکرر کمک‌کننده خواهد بود.

**کلمات کلیه‌ی:** بیماری کبد چرب غیرالکلی، شریان مغزی میانی، شریان قاعده‌ای مغز، سونوگرافی داپلر ترانس کرایال، شاخص ضربانی.

با عذر التهاب کبد و فیبروز می‌شود و حتی ممکن است در نهایت

به سمت سیروز پیشرفت کند.<sup>۱,۲</sup>

پاتوژن بیماری بر پایه مقاومت به انسولین می‌باشد.<sup>۳</sup> این بیماری هم‌چنین با تظاهرات ستدرم متاپولیک (چاقی احتشایی، فشارخون بالا، دیابت تیپ دو و دیس‌لیپیدمی) ارتباط دارد.<sup>۴</sup> طبق مطالعه Targher

غلامرضا رضامند<sup>۱</sup>  
مهرداد قبائی<sup>۲\*</sup>  
ناصر ابراهیمی دریانی<sup>۳</sup>  
هدی قدمی

۱- گروه بیماری‌های داخلی، مجتمع بیمارستانی امام‌خمینی (ره)، دانشگاه علوم پزشکی تهران، تهران، ایران.

۲- گروه نورولوژی، دانشگاه علوم پزشکی تهران، ایران، انتیتو علوم اعصاب، تهران، ایران.

۳- گروه گوارش، دانشگاه علوم پزشکی تهران، تهران، ایران.

۴- پژوهش عمومی، مرکز تحقیقات بیماری‌های مغز و اعصاب، دانشگاه علوم پزشکی تهران، تهران، ایران.

\* نویسنده مسئول: تهران، بلوار کشاورز، مجتمع بیمارستانی امام‌خمینی (ره)، ساختمان مرکز تحقیقات بیماری‌های مغز و اعصاب، معاونت پژوهشی ساختمان مرکز تحقیقات بیماری‌های مغز و اعصاب  
تلفن: ۰۲۱-۶۶۹۱۲۲۷۴-۲۸۱  
E-mail: mojdeh.ghabaee@gmail.com

### مقدمه

بیماری کبد چرب غیرالکلی (NAFLD) یکی از بیماری‌های شایع کبدی است و به عنوان یکی از عوامل مختل‌کننده عملکرد کبد شناخته شده است. سیر بیماری در بیشتر اوقات خوش‌خیم بوده و گاهی

سونوداپلر مرکز تحقیقات بیماری‌های مغز و اعصاب ایران وابسته به دانشگاه علوم پزشکی تهران در بین سال‌های ۱۳۹۱-۹۲ وارد مطالعه شدند. در ادامه هفت نفر از مراجعین از ادامه همکاری خودداری کردند و در نهایت ۵۵ بیمار مورد مطالعه قرار گرفتند. معیارهای ورود به مطالعه: الف- سن بیماران بین ۲۰ تا ۶۰ سال باشد.

ب- بیمارانی که تشخیص ابتلا به بیماری کبد غیرالکلی به‌وسیله سه عامل زیر داده شد:

- ۱- عدم استفاده از اتانول (کمتر از ۱۰۰ gr در هفته)
- ۲- سونوگرافی توسط یک فرد زبردست و آزموده بدون آگاهی به شرح حال بیمار، تقسیم‌بندی سونوگرافیک کبد چرب بر اساس معیارهای Osawa انجام شد: خفیف (درجه یک): افزایش جزیی در اکوژنسیته کبد، به‌طوری که دیافراگم و عروق داخل کبدی نرمال به‌نظر می‌رسند. متوسط (درجه دو): افزایش متوسط اکوژنسیته کبد و کاهش واضح مختصر تصاویر دیافراگم و عروق داخل کبدی. شدید (درجه سه): افزایش قابل ملاحظه اکوژنسیته کبد.<sup>۱۹</sup>
- ۳- نتایج آزمون‌های کبدی.

معیارهای خروج: بیماران مبتلا به هپاتیت الکلی، هپاتیت اتوایمیون و یا هپاتیت ویروسی، بیماران با سابقه سیروز صفوایی اولیه، کلانژیت اسکلروز اولیه، انسداد صفوایی، بیماری متاپولیک کبدی (ولیسون و هموکروماتوز) و بیمارانی با سابقه مصرف داروهای موثر بر کبد، سابقه جراحی با پس ایلئوژونال، درمان Hormone Replacement Therapy (HRT) بعد از یائسگی.

اطلاعات دموگرافیک بیماران شامل جنس، ابتلا به فشارخون، دیابت، چاقی، هیپرلیپیدمی و مصرف دارو ثبت شد. یافته‌های سونوگرافی کبدی براساس معیار Osawa<sup>۱۹</sup> به سه مرحله انفیلتراسیون چربی خفیف، متوسط و شدید بُث شدند. پارامترهای آزمایشگاهی کبدی شامل AST, ALT, Alk-P, PT, GGT, Plt به‌عنوان دیگر متغیرهای این مطالعه در آزمایشگاه رفرانس مورد بررسی قرار گرفت. جهت بررسی شاخص‌های سرعت جریان خون و شاخص ضربانی شریان مغزی- میانی و بازیلار از دستگاه اولتراسونوگرافی داپلر مغزی (TCD) (Atys Medical Ltd, France) استفاده شد و برای کم کردن خطای این تست با سه بار تکرار توسط یک نورولوژیست متبحر در بخش سونوداپلر مرکز تحقیقات مغز و اعصاب ایران با

چاقی شکمی در بیماران مبتلا به NAFLD منجر به افزایش شاخص IMT شده است.<sup>۷</sup> در مطالعات دیگری نیز نشان داده شده است که این بیماری با افزایش ضخامت ایتیما مديای شریان کاروتید ارتباط دارد.<sup>۸-۱۰</sup> بهتازگی مطالعه‌ای که در بیماران مبتلا به کبد چرب غیرالکلی در دو گروه دیابتیک و غیردیابتیک انجام داد<sup>۱۱</sup> شاخص ضربانی بالاتر به‌طور معناداری نشانه‌ای از افزایش مقاومت سربرووسکولار در این بیماران می‌باشد. در بین پارامترهای TCD، MV کمترین وابستگی را به فاکتورهای سیستمیک از جمله مقاومت کلی عروق محیطی (Total peripheral resistance)، ضربان قلب (Contractility)، انقباض‌پذیری (Heart rate)، تغییرپذیری (Resistance Index (RI)) داشته و تغییرپذیری کمتری دارد.<sup>۱۲</sup>

در بعضی از مطالعات انجام‌شده به‌وسیله TCD نشان داده شد که MV که نمایندهٔ جریان خون مغزی است در بیماری‌های مزمن کبدی کاهش می‌یابد یا تغییری نمی‌کند.<sup>۱۳</sup> در مطالعه Guevara نیز هیچ تفاوتی بین MV در بیماران سیروتیک به‌همراه آسیت با گروه کنترل نرمال نبوده است.<sup>۱۴</sup> لذا Resistance Index (RI) به عنوان نشانگر مقاومت عروقی جایگزین بهتری نسبت به MV بوده و مقادیر آن در بیماران سیروتیک به‌همراه آسیت بالاتر از گروه نرمال گزارش شده است.<sup>۱۵</sup> در مطالعه Targher، ضخامت ایتیما مديای شریان کاروتید در بیماران مبتلا به سیروز به‌طور معناداری بیشتر از گروه کنترل بود ( $P<0.001$ ).<sup>۱۶</sup> به‌نظر می‌رسد پارامترهای TCD به‌همراه تغییرات سونوگرافی و آزمایشگاهی در جهت تشخیص به‌موقع عوارض مغزی کبد چرب غیرالکلی و درمان آن سودمند بوده و این مطالعه نیز با این هدف طراحی و اجرا شد.

## روش بررسی

در این مطالعه که به صورت مقطعی- تحلیلی (Cross-sectional) انجام شد با فرض ضربی همبستگی متغیرهای وابسته و مستقل (۳۴۹=۳۰) و بر طبق یافته‌های مشابه در مطالعه Karakurt و با در نظر گرفتن  $\alpha=0.05$ ,  $\beta=0.80$  حجم نمونه معادل ۶۳ نفر محاسبه گردید.<sup>۱۷</sup> از این‌رو ابتدا ۶۳ بیمار مبتلا به NAFLD انتخاب و وارد مطالعه شدند. بیماران به‌روش غیراحتمالی آسان از مراجعین به یک کلینیک خصوصی بیماری‌های گوارش و کبد شهر تهران و بخش

عملکرد کبدی شامل اختلالات PTT، PT، افت پلاکت و اختلال آنزیمی (AST, ALT, ALK-P) نبودند. شاخص‌های سرعت در هر دو شریان قاعده‌ای و میانی مغز به طور معناداری کمتر از مقادیر مرجع بود ( $P<0.001$ ). بیشترین تفاوت در حداقل سرعت شریان مغزی میانی بود که در بیماران کبد چرب ( $SD=21/0$ )  $73/1$  cm/sec با ( $SD=18$ )  $108$  cm/sec با اندازه‌گیری شد در حالی که مقدار نرمال آن  $108$  cm/sec است. ارتباط بین پارامترهای TCD و گریدهای کبد چرب با تست ارزیابی شد که در شریان Univariate Kendall's tau statistic مغزی میانی با  $P=0.07$  و  $CC=-0.07$  و شریان بازیلار  $P=0.11$  و  $CC=-0.18$ ، از نظر آماری معنادار نبود.

در این مطالعه مقادیر متوسط PI در شریان‌های قاعده‌ای و میانی با افزایش شدت درگیری کبد روند کاهشی نشان داد (نمودار ۱) به طوری که PI متوسط MCA در گرید یک درگیری کبد از  $0/83$  با

جدول ۱: خصوصیات بیوشیمیایی آزمایشگاهی و یافته‌های سونوگرافی در بیماران مبتلا به NAFLD (n=۵۵)

مقدار آزمایشگاهی	تست آزمایشگاهی
	عملکرد کبدی *
$75/7\pm39/5$	آلانین آمینوترانسفراز (ALT) (u/l)
$41/4\pm18/0$	آسپارتات آمینوترانسفراز (AST) (u/l)
$185/6\pm81/8$	آلکالین فسفاتاز (ALK-P) (u/l)
	پروفایل چربی *
$20/2/7\pm46/1$	کلسترول تام (mg/dL)
$121/6\pm37/9$	LDL (mg/dL)
$46/4\pm25/0$	HDL (mg/dL)
$195/6\pm108/2$	تری‌گلیسرید (mg/dL)
$101\pm28/5$	قند خون ناشتا (mg/dL)
	مراحل کبد چرب در سونوگرافی (%) **
$21/(42)$	خفیف
$19/(38)$	متوفط
$10/(20)$	شدید

\* مقادیر به صورت میانگین ± انحراف معیار ارایه شدند.  
\*\* تعداد (درصد) گزارش شد.

استفاده از پروب ۲ MHZ انجام گرفت. برای اندازه‌گیری پارامترهای شریان میانی مغزی از محل پنجه تمپورال با زاویه  $30^{\circ}$  درجه و Sample volume ۱۲ میلی‌متر در عمق  $45-60$  mm و برای بررسی شریان بازیلاری، پروب در زیر اکسی بوت با Sample volume ۱۲ میلی‌متر در عمق  $80-90$  mm قرار گرفت.

Gosling Pulsatility Index (PI) به طور اتوماتیک محاسبه شد: سرعت جریان خون میانگین، سیستولیک و دیاستولیک با مقادیر نرمال که توسط Schöning ذکر شده است مورد ارزیابی قرار گرفت. آنالیز داده‌ها توسط نرم‌افزار آماری SPSS ویراست ۱۶ انجام شد. از آزمون آماری  $\chi^2$  در متغیرهای کیفی و مقایسه آن‌ها در گروه‌های مختلف مورد بررسی، استفاده شد.

از آزمون آماری Kolmogorov Smirnov (KS) برای بررسی نرمال بودن توزیع متغیرهای کمی استفاده شد و در موارد متغیرهای کمی با توزیع نرمال از آزمون‌های آماری Independent t-test و در موارد متغیرهای کمی با توزیع غیرنرمال از معادل غیرپارامتریک آن یعنی Mann-Whitney U-test استفاده شد. در مورد بررسی ارتباط متغیرهای کمی مختلف نیز از آزمون‌های همبستگی استفاده شد. در تمامی آنالیزهای آماری انجام گرفته، سطح معناداری معادل  $95\%$  در نظر گرفته شد.

پژوهشگران در تمامی مراحل اجرای طرح به اصول عهدنامه هلسینکی پایبند بودند. از کلیه بیماران فرم رضایت‌نامه کتبی آگاهانه دریافت شد.

## یافته‌ها

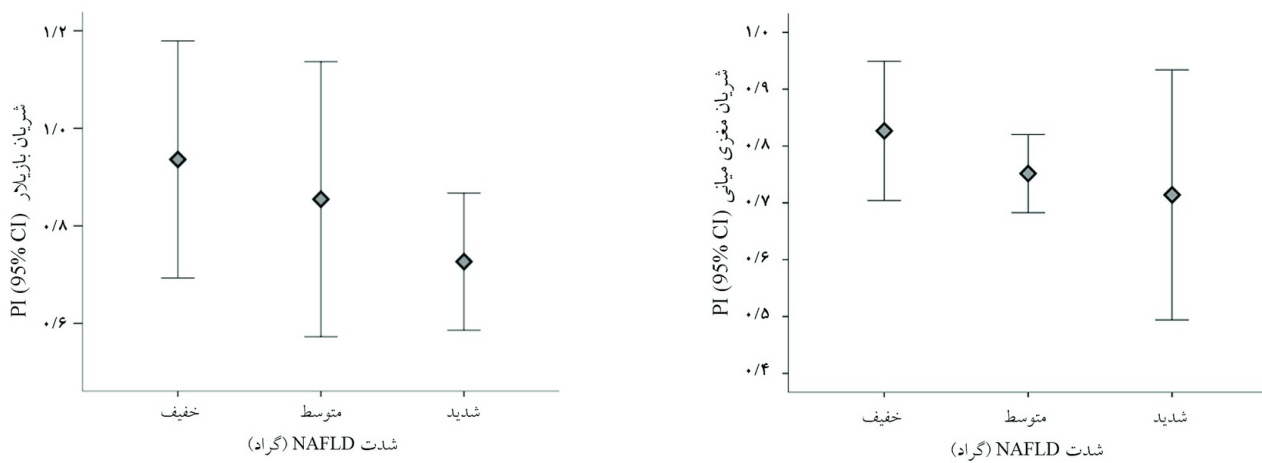
از ۵۵ بیمار بررسی شده،  $40$  نفر ( $72/7\%$ ) مرد بودند. متوسط سن بیماران  $41/4$  (انحراف معیار  $=10/6$ ) سال بود. درگیری کبدی چرب خفیف، متوسط و شدید اختلاف معناداری با اختلاف وزن ( $P=0.002$ ) و شاخص توده بدنی ( $Mean=14/82$ ,  $SD=14/82$ ,  $P=0.001$ ) داشت ولی این ارتباط در رابطه با فشارخون یافت نشد. نتایج تست‌های آزمایشگاهی بیماران شامل آنزیمهای کبدی، پروفایل لیپید و قندخون ارایه شد (جدول ۱). در یافته‌های سونوگرافیک شدت کبد چرب به صورت  $42\%/\text{خفیف}$ ,  $38\%/\text{متوفط}$  و  $20\%/\text{شدید}$  گزارش شد. هیچ‌کدام از بیماران دچار اختلال

جدول ۲: مقایسه شاخص‌های داپلر ترانس کرaniyal (TCD) در بیماران مبتلا به NAFLD (n=۵۵) با افراد سالم

P**	ارزش مرجع*	NAFLD	بیماران مبتلا به NAFLD (n=۵۵)	شاخص
<0.001	۴۸±۸	۳۶/۳±۱۳/۱		شریان مغزی میانی (MCA)
<0.001	۱۰۸±۱۸	۷۳/۱±۲۱/۰		سرعت پایان دیاستولی (EDV) (cm/sec)
<0.001	۶۷±۱۲	۴۸/۵±۱۵/۶		سرعت ماکریم سیستولی (PV) (cm/sec)
0.166	۰/۹۰±۰/۱۸	۰/۸۳±۰/۳۸		سرعت میانگین (MV) (cm/sec)
-	-	۰/۵۱±۰/۱۲		شاخص ضربانی (PI)
				شاخص مقاومت (RI)
				شریان بازیلار (BA)
<0.001	۳۴±۸	۲۳/۹±۹/۴		سرعت پایان دیاستولی (EDV) (cm/sec)
<0.001	۶۷±۱۵	۵۰/۵±۱۶/۵		سرعت ماکریم سیستولی (PV) (cm/sec)
<0.001	۴۶±۱۱	۳۲/۵±۱۰/۹		سرعت میانگین (MV) (cm/sec)
0.053	۰/۷۷±۰/۱۷	۰/۹۲±۰/۰۷		شاخص ضربانی (PI)
-	-	۰/۵۴±۰/۱۵		شاخص مقاومت (RI)

مقادیر به صورت میانگین ± انحراف معیار ارایه شده‌اند.

\* مقادیر مرجع افراد سالم بین سنین ۲۰-۶۳ سال طبق شاخص‌های TCD در مطالعه انجام شده توسط Schöning

\*\* تفاوت معنادار آماری ( $P<0.05$ )

نمودار ۱: میانگین شاخص ضربانی (PI) با سطح اطمینان (CI) ۹۵٪ شریان‌های مغزی میانی (A) و بازیلار (B) و شدت درگیری کبدی براساس یافته‌های سونوگرافی در بیماران مبتلا به NAFLD

SD=۰/۹۴ با SD=۰/۰۵۳ به SD=۰/۰۸۵ با SD=۰/۰۵۸ با SD=۰/۰۸۵ با SD=۰/۰۱۸ با SD=۰/۰۷۳ با SD=۰/۰۵۸ با SD=۰/۰۹۴ تCD (P=۰/۱۹۶). همبستگی میان آنزیم‌های کبدی و شاخص‌های ارزیابی شد. سطح سرمی AST با ALT r=-۰/۰۳۷ P=۰/۰۱۲ و با

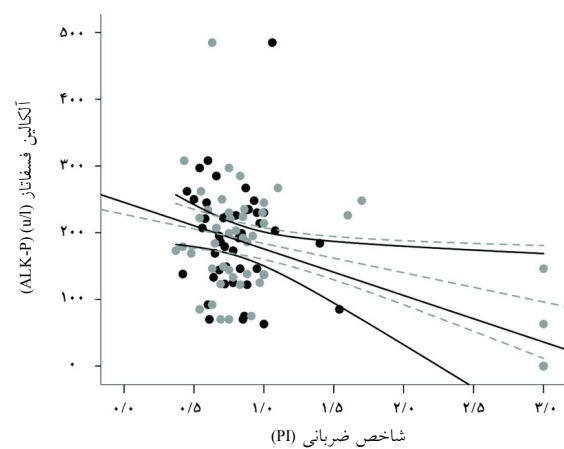
SD=۰/۰۷۵ با SD=۰/۰۱۴ در گردید دو و SD=۰/۰۷۱ با SD=۰/۰۳۱ در گردید سه رسید ولی این مقدار به اندازه‌ای نبود که در این حجم نمونه معنادار شود (P=۰/۰۷۸۹) PI متوسط در شریان قاعده‌ای به ترتیب از

Karakurt<sup>۱۱</sup> در بیماران NAFLD افزایش PI را در بیماران NAFLD نشان داد، ولی در مطالعه ما عدم وجود تغییر در PI می‌تواند ناشی از مدت کوتاه بیماری از زمان تشخیص تا انجام TCD باشد، یعنی زمان برای ایجاد تغییرات در عروق مغزی کافی نبوده است؛ چرا که مطالعات قبلی به طور عمده تغییرات را در بیماران مراحل انتهایی بیماری کبد نشان داده‌اند که دچار سیروز و آسیت بوده‌اند، در حالی که هیچ‌کدام از بیماران این مطالعه دچار سیروز یا اختلال عملکرد کبد نبودند. هم‌چنین در این مطالعه TCD بیماران پس از شروع درمان انجام شده است و ممکن است درمان‌های انجام‌شده نیز در جلوگیری از تغییرات عروقی موثر بوده باشد.

افرون بر این تغییرات سونوگرافیک کبد ارتباط دقیقی با میزان درگیری پاتولوژیک کبد ندارد و سطح سرمی آنزیم‌های کبد نیز نمایانگر شدت درگیری بافت‌شناسی کبد نیست و در مطالعه ما نیز ارتباط مستقیمی بین یافته‌های سونوگرافی و آزمایشات پاراکلینیک با پارامترهای ترانس کرaniyal یافت نشد و این نشانگر این است که در کنار موارد فوق استفاده از مارکرهای مانند K18 و فیبرواسکن<sup>۲۰</sup> که ارتباط بیشتری با تغییرات بافت‌شناختی کبد دارد ما را در درک پاتوفیزیولوژی بیماری‌های غیرالکلی کبد و مراحل درگیری عروق مغزی یاری نماید.

به‌حال انجام TCD‌های مکرر به منظور اندازه‌گیری PI به عنوان یک معیار در کنار آزمایشات کبدی و سونوگرافی در پی‌گیری بیماران NAFLD می‌تواند مورد لحاظ قرار گیرد، زیرا مطالعات نشان می‌دهد که افزایش PI نشانگر پیشرفت بیماری و تاثیرات غیرقابل برگشت عروق مغز می‌باشد، بنابراین پیشنهاد می‌شود در پژوهش‌های آتی اندازه‌گیری PI با انجام TCD مجدد، در کنار سونوگرافی و آزمایشات کبدی لحاظ گردیده و نتایج دو مطالعه باهم مورد مقایسه و ارزیابی قرار گیرد.

سپاسگزاری: این مقاله حاصل پایان‌نامه و طرح تحقیقاتی به شماره ۱۰۴۱-۵۴-۸۹۰۱ تحت عنوان "بررسی ارتباط یافته‌های سونوگرافی و آزمون‌های عملکرد کبدی با شاخص‌های سرعت جریان خون شریان مغزی-میانی و بازیلار در بیماران مبتلا به کبد چرب غیرالکلی (NAFLD)" در مقطع دکترای تخصصی در سال ۱۳۹۲ می‌باشد که با حمایت دانشگاه علوم پزشکی و خدمات درمانی تهران اجرا شده است.



نمودار ۲: طرح پراکنده شاخص ضربانی (PI) و سطح سرمی P-ALK در بیماران مبتلا به NAFLD با  $P=0.040$  و  $P=0.03$  به ترتیب برای شریان مغزی میانی (MCA) با نقاط سیاه و سفید و شریان بازیلار (BA) با نقطه خاکستری.

LDL $r=0.36$ ,  $P=0.014$  رابطه معکوسی با PI داشت و سطح خونی FBS همبستگی معناداری با شاخص‌های TCD نداشت. هم‌چنین همبستگی معکوس معناداری بین سطح سرمی P و PI شریان‌های MCA ( $r=-0.32$ ,  $P=0.030$ ) و BA ( $r=-0.30$ ,  $P=0.040$ ) داشت. به دست آمد (نمودار ۲).

## بحث

در این پژوهش، شدت کبد چرب با افزایش وزن و شاخص توده بدنی مرتبط بود که این یافته قابل پیش‌بینی بود. هرچند این مطالعه فاقد گروه کنترل بود و تاثیر کبد چرب بر آتروواسکلروز عروق را به صورت مورد شاهد بررسی نکرد، ولی در این بررسی PI در شریان‌های مغزی در مقایسه با مقادیر مرجع تفاوت معناداری نداشت. علاوه‌بر این، مطالعه فوق برای اولین بار نشان داد که تفاوت معناداری بین شاخص‌های TCD عروق داخل جمجمه با شدت درگیری کبدی در سه مرحله سونوگرافیک وجود ندارد. قابل ذکر است که در بیماری‌های سیستمیک مانند دیابت، آتروواسکلروزیس در زمینه فشار خون بالا و هیپرلیپیدمی به عنوان یک فاکتور غیروابسته کاهش MV با افزایش PI همراه می‌باشد افزایش می‌باید و هم‌چنین در مطالعه

## References

1. Teli MR, James OF, Burt AD, Bennett MK, Day CP. The natural history of nonalcoholic fatty liver: a follow-up study. *Hepatology* 1995;22(6):1714-9.
2. Neuschwander-Tetri BA, Caldwell SH. Nonalcoholic steatohepatitis: summary of an AASLD Single Topic Conference. *Hepatology* 2003;37(5):1202-19.
3. Bondini S, Younossi ZM. Non-alcoholic fatty liver disease and hepatitis C infection. *Minerva Gastroenterol Dietol* 2006;52(2):135-43.
4. Angulo P. Nonalcoholic fatty liver disease. *N Engl J Med* 2002;346(16):1221-31.
5. Harrison SA, Neuschwander-Tetri BA. Nonalcoholic fatty liver disease and nonalcoholic steatohepatitis. *Clin Liver Dis* 2004;8:861-79.
6. McCullough AJ. The clinical features, diagnosis and natural history of nonalcoholic fatty liver disease. *Clin Liver Dis* 2004;8(3):521-33, viii.
7. Targher G, Bertolini L, Padovani R, Zenari L, Zoppini G, Falezza G. Relation of nonalcoholic hepatic steatosis to early carotid atherosclerosis in healthy men: role of visceral fat accumulation. *Diabetes Care* 2004;27(10):2498-500.
8. Brea A, Mosquera D, Martín E, Arizti A, Cordero JL, Ros E. Non-alcoholic fatty liver disease is associated with carotid atherosclerosis: a case-control study. *Arterioscler Thromb Vasc Biol* 2005;25(5):1045-50.
9. Volzke H, Robinson DM, Kleine V, Deutscher R, Hoffmann W, Ludemann J, et al. Hepatic steatosis is associated with an increased risk of carotid atherosclerosis. *World J Gastroenterol* 2005;11(12):1848-53.
10. O'Leary DH, Polak JF. Intima-media thickness: a tool for atherosclerosis imaging and event prediction. *Am J Cardiol* 2002;90(10C):18L-21L.
11. Karakurt F, Carlioglu A, Koktener A, Ozbek M, Kaya A, Uyar ME, et al. Relationship between cerebral arterial pulsatility and carotid intima media thickness in diabetic and non-diabetic patients with non-alcoholic fatty liver disease. *J Endocrinol Invest* 2009;32(1):63-8.
12. Hennerici M, Rautenberg W, Sitzer G, Schwartz A. Transcranial Doppler ultrasound for the assessment of intracranial arterial flow velocity, Part 1. Examination technique and normal values. *Surg Neurol* 1987;27(5):439-48.
13. Aaslid R. Transcranial doppler examination techniques. In: Aaslid R, editor. *Transcranial Doppler Sonography*. New York, NY: Springer-Verlag; 1986. p. 39-59.
14. Dillon JF, Plevris JN, Wong FC, Chan KH, Lo NT, Miller JD, et al. Middle cerebral artery blood flow velocity in patients with cirrhosis. *Eur J Gastroenterol Hepatol* 1995;7(11):1087-91.
15. Lagi A, La Villa G, Barletta G, Cencetti S, Bacalli S, Cipriani M, et al. Cerebral autoregulation in patients with cirrhosis and ascites. A transcranial Doppler study. *J Hepatol* 1997;27(1):114-20.
16. Guevara M, Bru C, Ginès P, Fernández-Esparrach G, Sort P, Bataller R, et al. Increased cerebrovascular resistance in cirrhotic patients with ascites. *Hepatology* 1998;28(1):39-44.
17. Taylor KJ, Holland S, Doppler US. Part I. Basic principles, instrumentation, and pitfalls. *Radiology* 1990;174(2):297-307.
18. Targher G, Bertolini L, Padovani R, Rodella S, Zoppini G, Zenari L, et al. Relations between carotid artery wall thickness and liver histology in subjects with nonalcoholic fatty liver disease. *Diabetes Care* 2006;29(6):1325-30.
19. Osawa H, Mori Y. Sonographic diagnosis of fatty liver using a histogram technique that compares liver and renal cortical echo amplitudes. *J Clin Ultrasound* 1996;24(1):25-9.
20. Schöning M, Buchholz R, Walter J. Comparative study of transcranial color duplex sonography and transcranial Doppler sonography in adults. *J Neurosurg* 1993;78(5):776-84.
21. Brunt EM, Tiniakos DG. Histopathology of nonalcoholic fatty liver disease. *World J Gastroenterol* 2010;16(42):5286-96.

## Correlation of liver enzymes and sonographic findings with pulsatile index of middle cerebral and basilar arteries in nonalcoholic fatty liver

Gholamreza Rezamand M.D.<sup>1</sup>  
Mojdeh Ghabaei M.D.<sup>2\*</sup>  
Naser Ebrahimi Daryani M.D.<sup>3</sup>  
Hoda Ghadami M.D.<sup>4</sup>

1- Internal Medicine Resident,  
Imam Khomeini Hospital Complex,  
Tehran University of Medical Sciences, Tehran, Iran.

2- Department of Neurology,  
Iranian Center of Neurological Research, Neuroscience Institute,  
Tehran University of Medical Sciences, Tehran, Iran.

3- Department of Gastroenterology and Hepatology, Imam Hospital Complex, Tehran University of Medical Sciences, Tehran, Iran.

4- Iranian Center of Neurological Research, Tehran University of Medical Sciences, Tehran, Iran.

### Abstract

Received: 18 Aug. 2013 Accepted: 11 Jan. 2014 Available online: 01 Mar. 2014

**Background:** Nonalcoholic Fatty Liver Disease (NAFLD) is one of the most widespread human diseases that can impair liver function and sometimes progresses to cirrhosis. Recently NAFLD has been identified as an independent risk factor for cardiovascular disease. The aim of this study was to investigate the correlation of fatty liver disease and its sonographic severity on the resistance of the intracranial arteries.

**Methods:** This study was a cross-sectional study of 55 patients referred from Gastroenterology clinic with diagnosis of NAFLD to Sonodoppler department of Iranian Center of Neurological Research. Pulsatile index as a Hemodynamic parameter of Middle Cerebral (MCA) and basilar Arteries of NAFLD Patients was measured by Trans Cranial Doppler (TCD) sonography and the measurements were compared with normal values. Also the association of these indices with serum liver enzymes and sonographic grading of liver involvement was assessed. The analysis was done by SPSS 16. Frequency distribution, mean and standard deviation were used in descriptive analysis and statistical test  $\chi^2$  to compare qualitative variables.

**Results:** Pulsatile Index (PI) were normal (MCA,  $P= 0.166$ , Basilar,  $P= 0.053$ ) and there was no significant difference with relation to severity of fatty liver based on sonography findings ( $P= 0.789$ ), but serum liver enzyme levels were inversely correlated with basilar artery PI ( $P= 0.014$ ).

**Conclusion:** Considering the increase of cerebral arteries PI in advanced liver disease, absence of increase in vascular PI of patients in the present study could be attributed to the short duration of disease from diagnosis to perform TCD, lack of advanced liver involvement (absence of liver dysfunction) and the response effect to treatment before the TCD. Therefore, to assess vascular changes over time, repeating the TCD with assess other parameters such as Fibroscan and K18 factor that has more compatibility of liver function, could help to understand the pathophysiology of liver diseases and its effect on vascular resistance.

**Keywords:** basilar artery, middle cerebral artery, non-alcoholic fatty liver disease, pulsatility index, transcranial doppler, ultrasonography.

\* Corresponding author: Iranian Center of Neurological Research, Imam Khomeini Hospital Complex, Keshavarz Blvd., Tehran, Iran.  
Tel: +98-21-66912274(281)  
E-mail: mojdeh.ghabaei@gmail.com